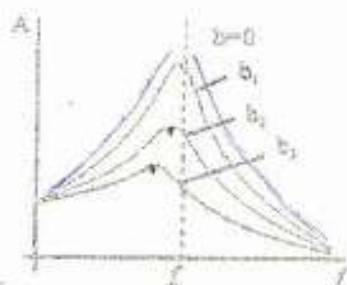


Παρακαλούμε να ληφθούν υπόψη οι ακόλουθες διορθώσεις:

1. Σχήμα 1.28 (σελίδα 23)

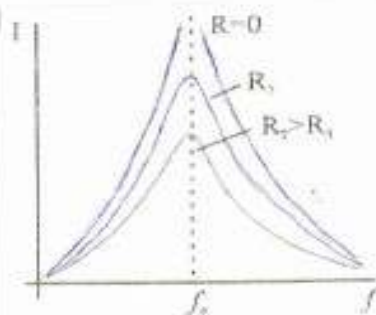


Το διάγραμμα του πλάτους μιας εξαναγκασμένης ταλάντωσης σε συνάρτηση με τη συχνότητα του διεγέρτη για διάφορες τιμές του  $b$  ( $b_1 < b_2$ ). Στις ταλαντώσεις με απόσβεση η συχνότητα συντονισμού είναι λίγο μικρότερη από την  $f_0$ . Όσο αυξάνεται η απόσβεση η μείωση της συχνότητας συντονισμού γίνεται μεγαλύτερη.

Το διάγραμμα του πλάτους μιας εξαναγκασμένης ταλάντωσης σε συνάρτηση με τη συχνότητα του διεγέρτη για διάφορες τιμές του  $b$  ( $b_1 < b_2$ ). Στις ταλαντώσεις με απόσβεση η συχνότητα συντονισμού είναι λίγο μικρότερη από την  $f_0$ . Όσο αυξάνεται η απόσβεση η μείωση της συχνότητας συντονισμού γίνεται μεγαλύτερη.

Σχ. 1.28

2. Σχήμα 1.30 (σελίδα 23)



Σχ.1.30 Τα διαγράμματα του πλάτους της έντασης του ρεύματος  $I$  σε ένα κύκλωμα LC που εκτελεί εξαναγκασμένη ηλεκτρική ταλάντωση σε συνάρτηση με τη συχνότητα του διεγέρτη, για διάφορες τιμές της αντίστασης του κυκλώματος ( $R_1 < R_2$ ).

Σχ. 1.30

Τα διαγράμματα του πλάτους της έντασης του ρεύματος  $I$  σε ένα κύκλωμα LC που εκτελεί εξαναγκασμένη ηλεκτρική ταλάντωση σε συνάρτηση με τη συχνότητα του διεγέρτη, για διάφορες τιμές της αντίστασης του κυκλώματος ( $R_1 < R_2$ ).

3. Σχέση 1.33 (σελίδα 27)

$$x = 2A \sin\left(\frac{\omega_1 - \omega_2}{2} t\right) \eta \mu\left(\frac{\omega_1 + \omega_2}{2} t\right) \quad (1.33)$$